

Ю.Н. Коломиец, С.С. Лебедев, Л.П. Семенов

ВЛИЯНИЕ ВКР НА РАСПРОСТРАНЕНИЕ ЛАЗЕРНЫХ ПУЧКОВ РАЗЛИЧНЫХ ПРОФИЛЕЙ В АТМОСФЕРЕ

Методами численного моделирования исследуется задача о стационарном ВКР лазерного пучка. Рассмотрена двумерная по поперечным координатам задача, что позволило исследовать режим формирования как пространственно-когерентного, так и пространственно-некогерентного стоксовских пучков. Рассмотрены лазерные пучки с различными пространственными профилями.

Как показывают теоретические оценки и экспериментальные данные, явление вынужденного комбинационного рассеяния (ВКР) может играть существенную роль при распространении интенсивного лазерного излучения на длинных трассах в атмосфере [1, 10].

Задача о влиянии ВКР на характеристики пучка исследовалась многими авторами (например, [2, 3]), в том числе и для распространения пучка интенсивного лазерного излучения в атмосфере [4, 5]. В настоящей статье методами численного моделирования исследуется задача о стационарном ВКР без учета параметрического взаимодействия (что справедливо, например, для вращательного ВКР циркулярно-поляризованной накачки). Решалась двумерная по поперечным координатам задача, что позволило исследовать режим формирования как одномодового (пространственно когерентного), так и многомодового (пространственно некогерентного) стоксовского пучка. Методом статистических испытаний определялись средние характеристики рассеянного излучения. Рассмотрены исходные лазерные пучки различных профилей.

Пусть на нелинейную среду падает пучок лазерного излучения (пучок накачки), распространяющийся в направлении оси z . В приближении квазиоптики, в пренебрежении дисперсией среды процесс попутного ВКР' описывается следующей системой уравнений для комплексных амплитуд лазерного и стоксовского излучения:

$$\left(\frac{\partial}{\partial z} + \frac{i}{2k_s} \Delta_{\perp} \right) A_s = \frac{1}{2} g A_l Q^* ; \quad (1)$$

$$\left(\frac{\partial}{\partial z} + \frac{i}{2k_l} \Delta_{\perp} \right) A_l = - \frac{1}{2} g A_s \gamma Q ; \quad (2)$$

$$\left(T_2 \frac{\partial}{\partial \vartheta} + 1 \right) Q = A_l A_s^* + N , \quad (3)$$

где A_l , A_s — комплексные амплитуды лазерного и стоксовского излучения, нормированные на интенсивность ($|A_l|^2 = I_l$, $|A_s|^2 = I_s$); ω_l , k_l , ω_s , k_s — частоты, волновые векторы накачки и стоксовской волны; $\gamma = \omega_l / \omega_s$; $\vartheta = t - z / v_l$, $v = 1/v_l - 1/v_s$; v_l , v_s — групповые скорости накачки и стоксовской волны; Q — недиагональный элемент матрицы плотности; T_2 — время поперечной релаксации комбинационного перехода; g — коэффициент усиления стационарного ВКР; Δ_{\perp} — лапласиан по поперечным координатам; N — сторонний источник, характеризующий собственные шумы среды, который можно считать гауссовским случайным процессом с корреляционной функцией

$$\langle N(z, \mathbf{r}_{\perp}, t) N^*(z', \mathbf{r}'_{\perp}, t') \rangle = \left(\frac{2\pi}{k_s} \right)^2 \frac{4T_2}{\pi g} \left(\frac{ds}{d\Omega} \right) \delta(t - t') \delta(z - z') \delta(\mathbf{r}_{\perp} - \mathbf{r}'_{\perp}) , \quad (4)$$

где $\left(\frac{ds}{d\Omega} \right)$ — сечение спонтанного рассеяния единицы / объема среды; $\delta(x)$ — дельта-функция Дирака.

Для комплексной амплитуды лазерного поля примем

$$A_l(0, \mathbf{r}_{\perp}, t) = A_l^0(\mathbf{r}_{\perp}, t). \quad (5)$$

В качестве граничного условия для стоксовского излучения выбираем нулевые колебания вакуумного поля с корреляционной функцией:

$$\langle A_S(0, \mathbf{r}_\perp, t) A_S(0, \mathbf{r}'_\perp, t') \rangle = \chi^\delta(t - t') \delta(\mathbf{r}_\perp - \mathbf{r}'_\perp), \quad (6)$$

где

$$\chi = 8\pi \cdot \left(\frac{\hbar\omega_S}{2} + \hbar\omega_S \left[\exp\left(\frac{\hbar\omega_S}{2\pi k_B T}\right) - 1 \right]^{-1} \right),$$

k_B — постоянная Больцмана; T — температура среды. Уравнения (1–3) записаны в пренебрежении дисперсией, что справедливо, если интенсивность накачки превышает критическое значение $I_l > I_{kp} = \Delta\omega/g$, где $\Delta\omega$ — ширина частотного спектра накачки [6]. В дальнейшем рассмотрим случай, когда характерное время изменения интенсивности лазерного излучения намного больше времени релаксации T_2 . В этом случае реализуется стационарный режим ВКР. Для ВКР на вращательных переходах молекул азота $T_2 = 0,1$ нс при давлениях ~ 1 атм, стационарный режим ВКР реализуется для импульсов длительностью > 10 нс. Уравнения (1–3) приведем к безразмерному виду. Положим

$$\mathbf{x}_{||} = z/(k_l a^2), \quad x_\perp = \mathbf{r}_\perp/a, \quad \xi_l = A_l/E_l^0, \quad \xi_s = A_s/E_l^0, \quad (7)$$

$$\tau = \theta/T_2, \quad q = Q/(|E_l^0|^2 T_2), \quad (8)$$

где a — характерный поперечный размер пучка накачки; E_l^0 — характерное значение модуля комплексной амплитуды накачки. Тогда из (1–3) получим:

$$\frac{\partial}{\partial \mathbf{x}_{||}} \xi_l + \frac{i}{2} \Delta_{x_\perp} \xi_l = \gamma B \xi_s q; \quad (9)$$

$$\frac{\partial}{\partial \mathbf{x}_{||}} \xi_s + \frac{1}{\alpha} \frac{i}{2} \Delta_{x_\perp} \xi_s = -B \xi_l q^*; \quad (10)$$

$$\frac{\partial}{\partial \tau} q + q = \xi_l \xi_s + f. \quad (11)$$

Здесь $B = \frac{1}{2} g l_0 k_l a^2$, $I_0 = |E_l^0|^2$ — характерное значение интенсивности накачки, $\alpha = k_l/k_s$,

$f = N/|E_l^0|^2$. Константа B имеет смысл инкремента усиления стоксовского излучения на дифракционной линии ka^2 лазерного пучка.

На начальном участке трассы истощением пучка накачки за счет ВКР можно пренебречь. Поэтому член в правой части (9) может быть отброшен. Произведем преобразование Фурье (10) и (11) по τ и исключим из уравнений (9–11) q . В результате система (9–11) преобразуется к виду

$$\frac{\partial}{\partial \mathbf{x}_{||}} \xi_l + \frac{i}{2} \Delta_{x_\perp} \xi_l = 0; \quad (12)$$

$$\frac{\partial}{\partial \mathbf{x}_{||}} \xi_{s\beta} + \frac{1}{\alpha} \frac{i}{2} \Delta_{x_\perp} \xi_{s\beta} = \frac{B\alpha |\xi_l|^2}{1+i\beta} \xi_{s\beta} + \frac{S}{1+i\beta} \xi_l \tilde{n}, \quad (13)$$

где $\xi_{s\beta} = 1/2\pi \int e^{i\beta\tau} \xi_s(x_{||}, x_\perp, \tau) d\tau$ — Фурье компонента ξ_s , \tilde{n} — случайный источник с корреляционной функцией

$$\langle \tilde{n}(x_{||}, x_\perp, \beta) \tilde{n}^*(x'_||, x'_\perp, \beta') \rangle = \delta(x_{||} - x'_||) \delta(x_\perp - x'_\perp) \delta(\beta - \beta'),$$

а $S = (4\pi(d\sigma/d\Omega)/k_s^{1/2})$. Границное условие (6) преобразуется к виду

$$\langle \xi_{s\beta}(x_\perp) \xi_{s\beta'}^*(x'_\perp) \rangle = \chi/(I_0 T_2 a^2) \delta(\beta - \beta') \delta(x_\perp - x'_\perp).$$

Поскольку граничное условие для $\xi_{s\beta}$ и источник в уравнении (13) имеют гауссовскую статистику, то и решение линейного уравнения (13) представляет собой гауссовскую случайную функцию. Если мы интересуемся значением $\xi_s(x_{||}, x_\perp, \tau)$ в некоторый фиксированный момент времени (например, $\tau = 0$), то,

очевидно, $\xi_s(x_{||}, x_{\perp}, 0)$ будет представлять собой случайную функцию с гауссовой статистикой.

Представим член $\frac{|\xi_l|^2}{1+i\beta}$ входящий в (13), в виде $||\xi_l||^2 + |\xi_l^0|^2 \left(\frac{1}{1+i\beta} - 1 \right)$, который аппроксимирует исходную функцию в области $\beta \approx 0$ всех $x_{||}$ и вблизи максимума $|\xi_l|^2$ для всех β , т.е. как раз в той области значений переменных β и x_{\perp} , где происходит наиболее существенное усиление стоксовской волны. Тогда приближенное выражение для функции $\xi_s(x_{||}, x_{\perp}, 0)$ можно представить в виде

$$\xi_s(x_{||}, x_{\perp}, 0) = \left(\frac{S}{(2B)^{1/2}} + \frac{\chi}{E_0 T_2 a^2} \right) \left(\frac{\pi}{2B \int_0^{x_{||}} |\xi_l^0|^2 dx} \right)^{1/4} \tilde{\xi}_s(x_{||}, x_{\perp}), \quad (14)$$

где $\xi_l^0 = \max \xi_l$, а $\tilde{\xi}_s$ — решение уравнения

$$\frac{\partial}{\partial x_{||}} \tilde{\xi}_s + \frac{1}{\alpha} \frac{i}{2} \Delta x_{\perp} \tilde{\xi}_s = B \alpha |\xi_l|^2 \tilde{\xi}_s \quad (15)$$

с граничным условием, представляющим собой гауссовскую случайную функцию, причем,

$$\langle \tilde{\xi}(x_{\perp}, 0) \tilde{\xi}^*(x_{\perp}', 0) \rangle = \delta(x_{\perp} - x_{\perp}'). \quad (16)$$

Приближенное выражение (14) означает, что мы пренебрегаем эффектами, связанными с «переплетением» пространственных и временных переменных, например, с фокусировкой стоксовского излучения «линзой», образованной пучком накачки.

Когда $|\xi_s|$ становится достаточно большим, членом, представляющим шумовой источник в правой части (11), можно пренебречь. В этом случае, исключая из уравнений (9–11) q , имеем

$$\frac{\partial}{\partial x_{||}} \xi_l + \frac{i}{2} \Delta x_{\perp} \xi_l = - \gamma B \int_{-\infty}^0 \xi_s(\tau) \xi_s^*(\tau + \tau') \xi_l(\tau + \tau') e^{\tau'} d\tau'; \quad (17)$$

$$\frac{\partial}{\partial x_{||}} \xi_s + \frac{i}{2\alpha} \Delta x_{\perp} \xi_s = B \int_{-\infty}^0 \xi_l(\tau) \xi_l^*(\tau + \tau') \xi_s(\tau + \tau') e^{\tau'} d\tau'. \quad (18)$$

На начальном участке трассы, на котором можно пренебречь истощением накачки, происходит обужение линии стоксовского излучения в $(M)^{1/2}$ раз (M — полный инкремент усиления стоксовского излучения) [6]. Таким образом, в (17), (18) функции ξ_s , ξ_l в первом приближении можно считать медленно меняющимися функциями времени по сравнению с $e^{\tau'}$. В этом приближении уравнения (17–18) сводятся к уравнениям для ВКР-усиления монохроматического стоксовского излучения в режиме истощения пучка накачки:

Соответственно решение задачи о ВКР-генерации сводится к решению уравнений (12) и (15) на начальном участке трассы, где реализуется ВКР в заданном поле накачки, и уравнений (19–20) в режиме истощения пучка накачки.

Поскольку уравнения (12, 15) и (19–20) совпадают с точностью до несущественного на начальном участке члена в правой части (19), решение (19–20) с учетом (14) дает решение задачи о ВКР как на начальном участке трассы, так и в режиме истощения пучка накачки.

Уравнения (19–20) решались численно методом расщепления по физическим факторам [7]. В качестве граничного условия для ξ_s при $x_{||} = 0$ моделировалось 6-коррелированное поле (16). Проводилось усреднение по ансамблю реализаций граничных условий для ξ_s . Расчеты производились для исходного лазерного пучка гауссовой, супергауссовой ($I \sim \exp(-(r/a)^n)$ ($n = 4, 6, 8$), а также кольцевой формы. Пучки выбирались с одинаковыми значениями максимальной интенсивности и мощности. Значение параметра B изменялось от 50 до 300, что соответствовало режиму формирования и пространственно-когерентного (при малых B), и пространственно-некогерентного (при больших B) стоксовских пучков.

На начальном участке трассы в поле лазерного излучения происходит формирование стоксовской волны из шумовой затравки, обусловленной спонтанным излучением и вакуумными флуктуациями поля на границе среды. Далее, если длина трассы превышает некоторое пороговое значение $z_{\text{пор}}$, происходит

перекачка энергии из пучка накачки в стоксовский пучок. На рис. 1 приведены полученные в результате расчетов значения безразмерной длины трассы $x_{\text{пор}} = z_{\text{пор}}/ka^2$ для лазерных пучков различных профилей в зависимости от параметра $B = 1/2gI_0ka^2$. В качестве порогового выбиралось такое значение продольной координаты, при котором в стоксовский пучок перекачивалось $\approx 1\%$ энергии лазерного пучка.

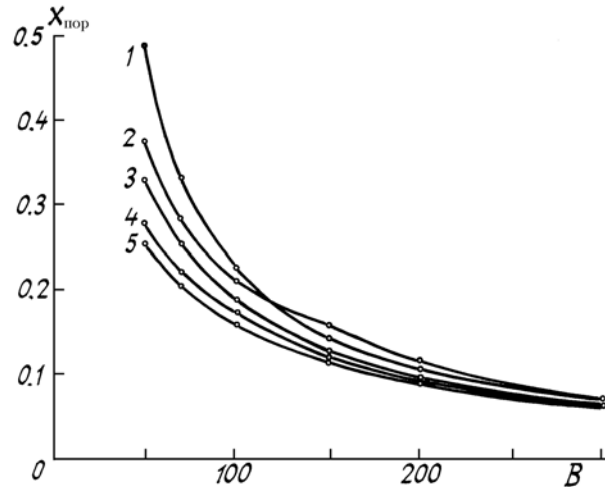


Рис. 1. Зависимость безразмерного значения пороговой длины трассы $x_{\text{пор}} = z_{\text{пор}}/ka^2$ от параметра $B = 1/2ka^2gI$ для исходных лазерных пучков различной формы: 1 – гауссовой, 2 – кольцевой, 3, 4, 5 – супергауссовой ($3-n=4$, $4-n=6$, $5-n=8$)

Помимо очевидного факта, что $x_{\text{пор}}$ уменьшается с ростом B , легко заметить, что для небольших значений B наблюдается существенная зависимость $x_{\text{пор}}$ от формы исходного лазерного пучка, причем с увеличением B эта зависимость становится менее заметной. Такое поведение $x_{\text{пор}}$ может быть обусловлено тем, что при небольших значениях B на начальном участке трассы существенно влияние френелевской дифракции лазерного пучка, при больших значениях B это влияние уменьшается. Кроме того, такое поведение порогового значения длины трассы может быть обусловлено зависимостью инкремента роста основных мод стоксовского излучения от формы падающего лазерного пучка и от параметра B [8, 9].

На участке трассы, где значение продольной координаты превышает пороговое значение $x_{\text{пор}}$, происходит перекачка энергии из лазерного в стоксовский пучок, (режим истощения пучка накачки). В этом режиме, вообще говоря, происходит некоторое увеличение расходимости стоксовского пучка. Наиболее заметно это увеличение для больших B . Так, для $B = 300$ расходимость увеличивается примерно в 3 раза. Для малых значений B это увеличение расходимости в режиме истощения пучка накачки становится менее существенным (например, для $B = 50$ оно практически не наблюдается). То же самое имеет место и для исходных лазерных пучков другой формы. Однако в этих случаях даже для больших значений B увеличение расходимости менее заметно.

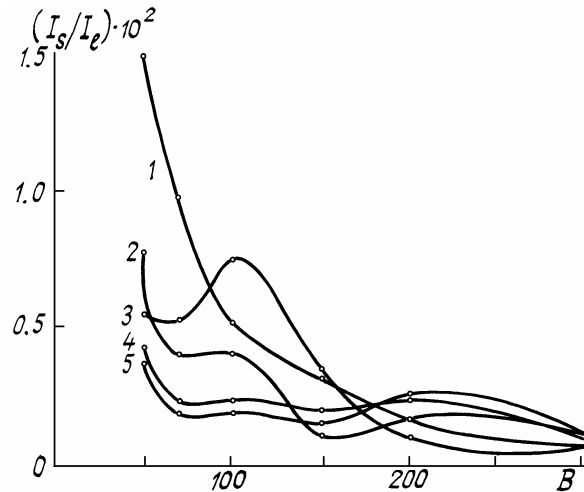


Рис. 2. Зависимость отношения интенсивности стоксовского излучения I_s при ВКР к интенсивности лазерного излучения I_l в отсутствие ВКР в дальней зоне от параметра $B = 1/2ka^2gI$ для исходных лазерных пучков различной формы: 1 – гауссовой, 2 – кольцевой, 3, 4, 5 – супергауссовой ($3-n=4$, $4-n=6$, $5-n=8$)

Поскольку результирующий стоксовский пучок имеет большую расходимость, он, после того как в него перекачивается энергия из пучка накачки, начинает расплыватьться, и его интенсивность уменьшается с ростом продольной координаты. На рис. 2 представлено отношение интенсивности стоксовского пучка на оси в дальней зоне к интенсивности лазерного пучка в дальней зоне в отсутствие ВКР в зависимости от параметра B для различных профилей исходного лазерного пучка. Видно, что для небольших значений B наблюдается существенная зависимость интенсивности прошедшего стоксовского пучка в дальней зоне от формы падающего пучка. С ростом B эта зависимость становится менее заметной. Кроме того, из рисунка видно, что зависимость интенсивности в дальней зоне от B (т.е. фиксированном радиусе пучка — от интенсивности падающего пучка) носит немонотонный характер.

При расчетах помимо средней интенсивности стоксовского пучка определялись также его дисперсия флуктуаций интенсивности, корреляционная функция и радиус корреляции. В табл. 1 представлены отношения радиуса стоксовского пучка r к его радиусу корреляции r_c в зависимости от B для гауссовского, кольцевого и супергауссовского ($n = 4$) исходных лазерных пучков.

Таблица 1

| B | r/r_c | | |
|-----|-------------|------------------|-----------|
| | Пучки | | |
| | гауссовский | супергауссовский | кольцевой |
| 100 | 0,7 | 1,9 | 1,1 |
| 300 | 2,3 | 6,8 | 2,0 |
| 500 | 4,0 | 7,6 | 4,3 |

Таблица 2

| B | $(\sigma_I)^{1/2}/I$ | | |
|-----|----------------------|------------------|-----------|
| | Пучки | | |
| | гауссовский | супергауссовский | кольцевой |
| 100 | 0,14 | 0,04 | 0,05 |
| 300 | 0,35 | 0,75 | 0,92 |
| 500 | 0,57 | 0,75 | 0,80 |

Квадрат этого отношения характеризует число неоднородностей пучка. Результаты приведены для значений продольной координаты, соответствующей почти полной ($\approx 80\%$) перекачке энергии в стоксовский пучок. По мере роста B это отношение увеличивается, что говорит о переходе к режиму формирования многомодового стоксовского пучка, причем этот переход для супергауссовских пучков осуществляется при меньших значениях B , чем для гауссовского и кольцевого. В табл. 2 представлены значения относительной дисперсии флуктуаций интенсивности стоксовской компоненты на оси пучка при тех же значениях продольной координаты, что и в табл. 1. Это отношение может характеризовать относительную глубину временной модуляции стоксовского пучка. Из таблицы видно, что с увеличением B глубина временной модуляции увеличивается. Приведенные результаты подтверждают необходимость использования для описаний ВКР при $B \geq 100$ двумерных по поперечным координатам параболических уравнений. Еще одним подтверждением этого служат приведенные на рис. 3 линии уровня интенсивности стоксовского излучения для одной реализации случайного стоксовского поля, которые могут иллюстрировать мгновенное распределение интенсивности в какой-то случайный момент времени. Линии уровня приведены для исходного лазерного пучка гауссовой формы и $B=300$, при значении продольной координаты, соответствующей почти полной перекачке энергии в стоксовский пучок. Видно, что решение не является осесимметричным.

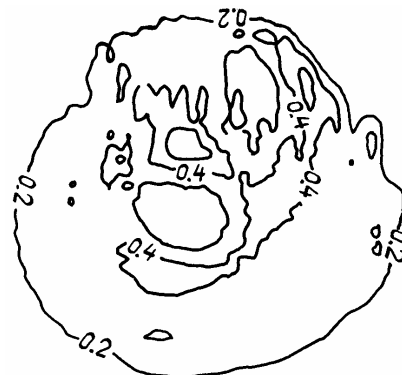


Рис. 3. Линии уровня интенсивности стоксовского пучка для одной реализации случайной стоксовой затравки. Исходный лазерный пучок гауссовой формы. $B = 300$

Проведенные расчеты позволяют сделать следующие выводы:

- 1). При небольших значениях мощности падающего пучка наблюдается сильная зависимость средней интенсивности прошедшего пучка от формы падающего (интенсивность изменяется в 3–4 раза).
- 2). При больших значениях мощности эта зависимость проявляется слабо.
- 3). Число неоднородностей прошедшего пучка зависит от формы падающего пучка во всем диапазоне мощностей падающего пучка.

1. Nenesian M.A., Swift C.D., Murray J.R. // Opt. Lett. 1985. V. 10. № 11. P. 565.
2. Бетин А.А., Пасманик А.Г. // Квантовая электроника. 1973. № 4 (16), С. 60.
3. Бетин А.А., Пасманик А.Г. // Квантовая электроника. 1975. Т. 2. № 11. С. 2403.
4. Садовников В.П., Стрелков Г.М., Шаляев М.Ф. // Оптика атмосферы. 1989. Т. 2. № 11. С. 1123.
5. Константинов К.К., Стародумов А.Н., Шленов С.А. // Оптика атмосферы. 1989. Т. 2. № 12. С. 1291.
6. Ахманов С.А., Дьяков Ю.Е., Чиркин А.С. Введение в статистическую радиофизику и оптику. М.: Наука» 1981. С. 580.
7. Fleck J.A., Morris J.R., Feit M.D. // Appl. Phys. 1976. V. 10. P. 129.
8. Беспалов В.И., Пасманик Г.А. // ДАН, 1973. Т. 210. № 2. С. 309.
9. Коломиец Ю.Н., Лебедев С.С., Семенов Л.П. // Труды ИЭМ. 1990. Вып. 22 (144). С. 37.
10. Martin W.E., Wienfield R.J. // Appl. Opt. 1988. V. 27. № 3. P. 567.

Научно-производственное объединение «Тайфун»,
г. Обнинск

Поступила в редакцию
21 августа 1991 г.

Yu.N. Kolomiets, S.S. Lebedev, L.P. Semenov. Influence of SRS on the Propagation of Laser Beams of Various Profiles in the Atmosphere.

A problem on stationary stimulated Raman scattering of a laser beam is studied numerically. A two dimensional (cross-sectional) problem has been considered, which allowed formation of a spatially coherent and spatially noncoherent Stokes beams to be investigated. Laser beams of different spatial profiles were studied.